

بررسی انرژی امواج در بندر امیرآباد دریایی خزر با استفاده از نتایج مدل SWAN

احمد دردی زاده بصیرآباد^۱، وحید چگینی^۲، مهدی محمد مهدیزاده^۳، بهاره کامران زاد^۳

۱. موسسه تحقیقات آب خزر
۲. مرکز ملی اقیانوس شناسی
۳. دانشگاه هرمزگان

چکیده

در این تحقیق، از مدل عددی SWAN برای مدل سازی امواج و بدست آوردن ارتفاع موج مشخصه در محدوده‌ی بندر امیرآباد دریایی خزر استفاده شد. برای این کار، ابتدا یک مدل کلی جهت مدل سازی ارتفاع موج در کل محدوده‌ی دریایی خزر ساخته شد. سپس از شرایط مرزی به دست آمده از مدل کلی، با استفاده از عمل آشیانه سازی مدل SWAN، مدل سازی محلی با درشت نمایی بیشتر در منطقه‌ی بندر امیرآباد استفاده شد. مدل محلی ساخته شده در منطقه‌ی امیرآباد با استفاده از اطلاعات ثبت شده مشخصات موج توسط بویه‌ی مستقر در آن منطقه واسنجی و درستی سنجی شد. مقایسه نتایج به دست آمده با اطلاعات اندازه‌گیری شده توسط بویه‌ی امیرآباد نشان می‌دهد که مدل سازی انجام شده در این منطقه از دقت خوبی برخوردار است. سپس مدل SWAN برای زمان سه سال اجرا و در مکان مورد نظر ارتفاع موج مشخصه بدست آمد. در نهایت انرژی موج با استفاده از ارتفاع موج مشخصه به دست آمد.

واژگان کلیدی: مدل SWAN، ارتفاع موج مشخصه، عمل آشیانه سازی، بندر امیرآباد، انرژی موج

بنگ چان لی و همکاران (۲۰۰۶)، به پیش بینی امواج ناشی از باد در آب های تایوان با مدل SWAN پرداخته اند. نتایج این شبیه سازی نشان داده که برآورد دوره تناوب موج، همواره کوچکتر از مقدار واقعی است. به علاوه آن ها در این تحقیق به بررسی اتلاف موج و اقتباس یک فرمول اتلاف موج جدید پرداخته اند.

معینی و همکاران (۲۰۰۷) به بررسی امواج ناشی از باد در دریاچه های اریه با استفاده از مدل های Mike21 و SWAN و نیز داده های دو بویه پرداخته اند و با بکارگیری روش های آماری درصد خطای مدل های مذکور در موقعیت بویه ها را مورد بررسی قرار داده اند.

فرجامی و همکاران (۱۳۹۰) به بررسی امواج ناشی از باد در خلیج بوشهر با استفاده از مدل SWAN پرداخته اند. نتایج این بررسی نشان داده که برآورد دوره تناوب موج و ارتفاع موج، تطابق خوبی با داده های بویه دارد ولی مقادیر مدل همواره کمتر از مقدار واقعی بویه است.

با توجه به موقعیت جغرافیایی و شرایط اقلیمی کشور ایران که ۱۲۵۹ km مرز دریایی با خلیج فارس و ۷۸۴ km مرز دریایی با دریای عمان و ۶۵۷ km با دریای خزر دارد و همچنین با در نظر گرفتن اینکه بیش از ۱۰ میلیون نفر از جمعیت آن در استان های ساحلی سکونت دارند، تحقیقات در مورد این منابع و پتانسیل های ذخیره شده در منابع و امکان استفاده از آنها ضروری به نظر می رسد.

هم چنین بندر امیرآباد یکی از بنادر مهم سواحل جنوبی دریای خزر محسوب می شود که تعیین پارامتر های امواج ناشی از باد و انرژی حاصل از آنها از اهمیت بالایی برخوردار است.

۲. مواد و روش ها

SWAN^۱، مدل موج نسل سومی برای دستیابی به برآوردهای واقع گرایانه پارامترهای موجی در نواحی

۱. مقدمه

امروزه انجام عملیات دریایی نیازمند پیش بینی دقیق مشخصات امواج در مناطق ساحلی و فرا ساحلی می باشد. توسعه انرژی های نو از مهمترین مسائلی است که در تمام کشورها به آن پرداخته شده و دائما در پی ایجاد طرحی نو در این خصوص هستند (شیرین منش و همکاران، ۱۳۹۰).

در حال حاضر تقاضا برای انرژی مصرفی در دنیا به طور پیوسته با منابع پایان پذیر سوخت های فسیلی پاسخ داده می شود، افزایش تقاضا و کاهش عرضه در زمینه ای انرژی باعث افزایش قیمت نفت در دهه های اخیر شده است، این قیمت های بالا به اضافه ای اثرات منفی زیست محیطی ناشی از سوختن سوخت های فسیلی که مهمترین نتیجه آن پذیده گرماشی سیاره زمین است، باعث به وجود آمدن بازارهای جدیدی از انواع انرژی های دیگر شد.

مهمترین دسته ای این انرژی ها، انرژی های تجدید پذیر هستند که شامل انرژی خورشیدی، انرژی باد، انرژی زمین گرمایی و انرژی های اقیانوسی هستند. این منابع انرژی نسبت به منابع سوخت های فسیلی از چند جهت برتری دارند که عبارتند از:

- منابع این انرژی ها بی پایان هستند (تجدد پذیر).
- این نوع انرژی ها پاک هستند (باعث آلودگی نمی شوند).
- از نظر اقتصادی مقرر به صرفه هستند.

امواج از اثرات باد روی سطح آب ناشی می شوند و به همین دلیل به طور غیر مستقیم از انرژی های خورشیدی محسوب می گردند. یکی از مزایای عمدۀ انرژی امواج نسبت به انرژی خورشیدی و باد، مقدار چگالی بالای انرژی بر واحد سطح است.

کل انرژی موجود در امواج سراسر دنیا حدود TW ۱-۱۰ تخمین زده می شود که تقریباً معادل کل مصرف انرژی دنیا است (منصور بهمنی، ۱۳۹۰).

مدل سازی، میدان باد ECMWF^۵ اصلاح شده است که دارای بزرگنمایی مکانی ۰/۲ درجه و بزرگنمایی زمانی ۶ ساعت است. اصلاح میدان باد ECMWF در مناطق ساحلی و توسط اطلاعات اندازه گیری شده توسط ایستگاه های همدیدی انجام شد.

داده های بویه ی بندر امیرآباد در این پژوهش برای واسنجی (کالیبراسون) و صحت سنجی استفاده شده است. داده های بویه ی بندر امیرآباد از موسسه ملی اقیانوس شناسی دریافت شده است. از طرفی چون فقط برای سال های ۲۰۰۰ و ۲۰۰۱ و ۲۰۰۲ داده های باد وجود داشت، مدل برای این ۳ سال و با گام زمانی ۶ ساعت اجرا شد.

به دلیل عدم وجود داده های مناسب برای سایر پارامتر ها از همان پیش فرض های مدل استفاده شده است.

شبکه ی محاسباتی^۶ اولیه (بزرگتر)^۷ برای این پژوهش به صورت المان های مربعی منظم تعریف شده است. طول این شبکه ۸/۵ درجه در راستای شرق - غرب از ۴۶/۵ درجه ی شرقی تا ۵۶ درجه ی شرقی و عرض آن ۱۱ درجه در راستای شمال - جنوب از ۳۶/۵ درجه ی شمالی تا ۴۷/۵ درجه ی شمالی است، مستطیلی به طول تقریبا ۱۲۰۱ کیلومتر و عرض ۸۴۱ کیلومتر است که در شکل ۱ نشان داده شده است. دقت داده های عمق سنجی در شبکه ی بزرگتر یک دقیقه انتخاب گردید که بهترین دقت موجود در سایت NOAA است. مدل کوچکتر^۸ که برای رسیدن به نتایج دقیق تر انتخاب گردید، دارای طول ۱/۲ درجه در راستای شرق - غرب از ۵۲/۸ درجه ی شرقی تا ۵۴ درجه ی شرقی و عرض آن ۵/۰ درجه در راستای شمال - جنوب از ۳۶/۸ درجه ی شمالی تا ۳۷/۳ درجه ی شمالی است. شبکه ی کوچکتر به ۱۲۰ قسمت در راستای شرقی - غربی و ۵۰ قسمت در راستای شمال - جنوب تقسیم شده اند. برای

ساحلی، دریاچه ها و دهانه های رودخانه های بزرگ (مدخل ها) با توجه به باد، شرایط کف و جریان است. اگرچه SWAN را می توان بر روی هر مقیاس و برای امواج ثقلی سطحی ناشی از باد مورد استفاده قرار داد. این مدل، بر مبنای معادله تعادلی رفتار موجی به همراه منابع و چاهها است.

در استفاده های عملی، مدل در ابتدا برای نقاط و محدودیت های زمانی خاصی واسنجی می شود و سپس صحت سنجی^۹ مدل واسنجی شده با یک سری داده های جدید انجام می شود. چنانچه شبیه سازی پدیده در محدوده ی مناسبی باشد، می توان از نتایج واسنجی برای اجراهای بعدی نیز استفاده کرد. به طور کلی مدل سازی امواج با استفاده از مدل SWAN شامل مراحل جمع آوری داده های ورودی، برپایی^{۱۰} مدل، واسنجی و صحت سنجی مدل، شبیه سازی^{۱۱} امواج یا اجرای مدل و ارائه ی نتایج است.

داده های مورد استفاده در این مدل سازی، شامل اطلاعات موج ثبت شده توسط بویه ی بندر امیرآباد دریانوردی در این منطقه مستقر شده و اطلاعات آن به صورت گام زمانی یک ساعته اطلاعات موج در ۵۳/۴۱ درجه ی شرقی و ۳۶/۹۲ درجه ی شمالی و در عمق ۲۵ متری است.

اطلاعات ژرفاسنجی و همچنین داده های باد هر دو برای استفاده، جهت ورودی های مدل SWAN ضروری اند. اطلاعات عمق سنجی به صورت یک شبکه ی مستطیلی با بزرگنمایی $\frac{1}{60}$ درجه و از سایت NOAA^{۱۲} تهیه گردیده است که کل دریای خزر را پوشش می دهد. داده های باد مورد استفاده در این

1.Verification

2 Set-up

3 Simulation

4. National Oceanic and Atmospheric Administration

5. European Center for Medium-range Weather Forecasts

6. Computational Grid

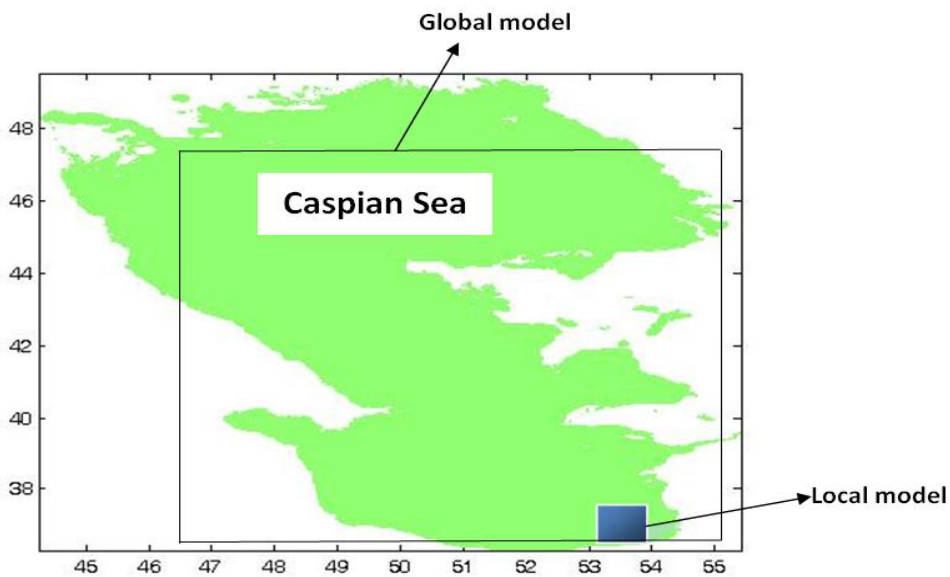
7.Global

8. Local

9. Nest

کامل با ۱۸ قطاع در نظر گرفته شده و شبکه‌ی بسامدی، از بسامد ۰/۰۸ تا ۱ را شامل شده و به ۲۰ قسمت به صورت لگاریتمی تقسیم شده است.

رسیدن به چنین دقت بالایی از دستور آشیانه سازی استفاده گردید. در مدل SWAN شبکه‌ی طیفی به دو بخش شبکه‌ی زاویه‌ای و شبکه‌ی بسامدی تقسیم می‌شود. شبکه‌ی زاویه‌ای به صورت دایره‌ی



شکل ۱. موقعیت شبکه‌های محاسباتی مدل‌های کلی و محلی

حداقل دو بویه‌ی مختلف بوده است، اما به دلیل فقدان اندازه‌گیری‌های همزمان بویه‌ها در بازه‌ی زمانی که باد ورودی مدل ECMWF خریداری شده است، چنین امری میسر نگردید و تنها بازه‌های زمانی مناسب برای واسنجی و درستی سنجی مدل SWAN، بازه‌ی زمانی داده‌های موجود از بویه‌ی بندر امیرآباد در نظر گرفته شد.

واسنجی مدل

برای واسنجی مدل در حالت کلی از تغییر ضرایب مربوط به سفیدک راس موج، شکست موج و اصطکاک بستر استفاده می‌شود. پارامترهای مربوط به مکانیسم سفیدک راس موج که کنترل کننده‌ی میزان رشد موج است، در دسترس ترین و مناسب ترین پارامترهای مدل برای واسنجی نتایج هستند. از طرفی چون محل قرار گیری بویه در آب عمیق است و در آب عمیق، پارامتر سفیدک راس موج است که بر رشد موج تاثیرگذار است (Goda 1979,), در نتیجه

مدل سازی محلی پس از مدل سازی کلی و استخراج اطلاعات مربوط به مرزهای مدل محلی از آن انجام شد که در ادامه شرح داده خواهد شد.

انتخاب دوره‌های واسنجی و درستی سنجی مدل

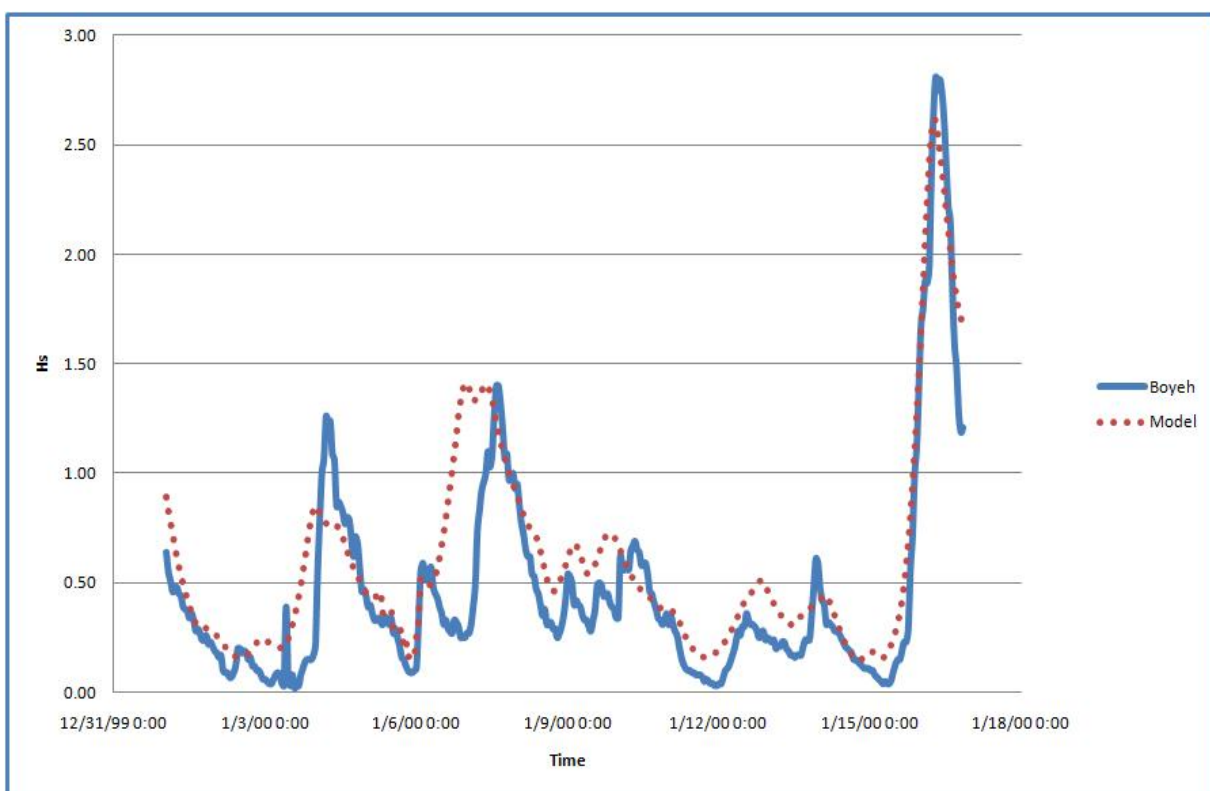
مدل برپا شده باید برای یک دوره‌ی زمانی واسنجی شود تا اختلاف نتایج با مقادیر اندازه‌گیری شده کاهش یابد. انتخاب محل و محدوده‌ی زمانی نقاط واسنجی و درستی سنجی مدل کاملاً به داده‌های موجود بستگی دارد. از نظر محل، بویه‌های بندر انزلی و امیرآباد و بویه‌ی نیروگاه نکا تنها محل‌هایی هستند که اطلاعات اندازه‌گیری شده‌ی قابل اتكایی از مشخصات امواج را دارا هستند.

به منظور یافتن دوره‌های مناسب برای واسنجی، اندازه‌گیری‌های انجام شده به وسیله‌ی بویه‌ها در بازه‌ی زمانی مختلف مورد بررسی قرار گرفت. اگرچه اولویت اساسی در انتخاب دوره‌ها، همزمانی آنها برای

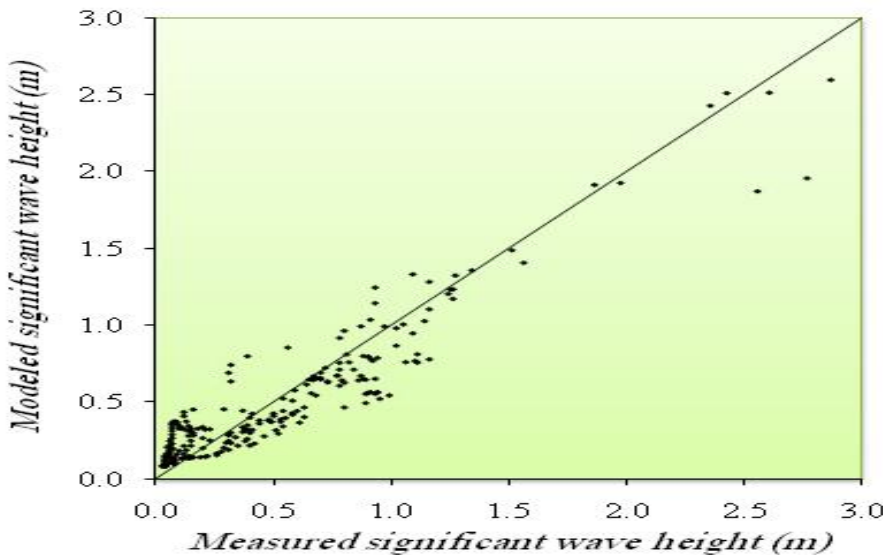
CPU نیز کاهش سرعت اجرا به دلیل افزایش دمای CPU در اجراهای طولانی مدت، گام زمانی را محدودتر کرده و برای اجرای سه ساله‌ی مدل، گام زمانی ۶ ساعت انتخاب شده است.

انتخاب محدوده‌ی زمانی نقاط واسنجی مدل کاملاً به داده‌های موجود بستگی دارد. به همین دلیل شروع بازه‌ی زمانی واسنجی ساعت ۱۰:۰۰ سال ۲۰۰۰/۰۱/۰۱ و زمان خاتمه‌ی آن ۱۹:۰۰ سال ۲۰۰۰/۰۱/۱۶ انتخاب گردید. زمان ذکر شده در دوره‌ی واسنجی تنها زمانی است که اطلاعات اندازه‌گیری شده‌ی قابل انتکایی از مشخصات امواج را در سال ۲۰۰۰ دارا هستند. نتایج واسنجی در شکل‌های ۲ و ۳ نشان داده شده است.

برای ضریب اصطکاک و دیگر پارامترها از پیش فرض های مدل SWAN استفاده شد. همچنین تحلیل حساسیت‌ها نشان داده که در این مدل سازی، تغییر ضریب سفیدک راس موج بیشترین تاثیر را بر دقت نتایج حاصله دارد (چگینی و همکاران، ۱۳۹۱). بنابراین از ضریب مذکور جهت واسنجی مدل استفاده شد. مدل برپا شده برای دوره‌ی زمانی مربوطه واسنجی شد. ضریب سفیدک راس موج ۵-۳۶ JONSWAP انتخاب شد. در این مدل سازی از طیف که پیش فرض مدل است، انتخاب گردید. گام زمانی نیز طوری باید انتخاب گردد که پایداری لازم برای اجرای مدل را ایجاد کند. در این تحقیق برای به حداقل رساندن اشکالات احتمالی ناشی از قطع برق و



شکل ۲. سری زمانی ارتفاع موج اندازه گیری شده و مدل سازی شده در دوره ی واسنجی



شکل ۳. نمودار پراکندگی ارتفاع موج حاصل از مدل در مقایسه با اندازه گیری بویه امیرآباد در دوره ۵ واسنجی

در این روابط، \bar{x} میانگین داده های ثبت شده بویه و \bar{y} میانگین مقادیر پیش بینی شده مدل است. در حالت آرمانی، اگر مقادیر \bar{y} و \bar{x} کاملاً بر هم منطبق باشند؛ شاخص پراکندگی (SI) و پارامتر خطای اربی (Bias) برابر صفر خواهد بود. بنابراین هر چه مقادیر این دو پارامتر به صفر نزدیک تر باشد؛ دقت مدل بالاتر است. در حالت کلی محدوده دیگر خطا اربی از $-1 \leq \text{Bias} \leq +1$ و شاخص پراکندگی از صفر تا 100 است. بنابراین در واسنجی مدل، آهنگ تغییر اتفاف سفیدک رأس موج طوری تنظیم و انتخاب شد تا خطای (شاخص پراکندگی) در ارتفاع موج عمده (H_s) شبیه سازی شده، به کوچکترین مقدار ممکن برسد.

درستی سنجی مدل

به دست آوردن نتایج درستی سنجی مدل به این صورت است که ضرایب بدست آمده از مرحله ۴ واسنجی، بدون تغییر برای یک دوره بی دیگر اجرا می شود. شروع بازه زمانی درست سنجی ساعت ۱۰:۰۰ سال ۲۰۰۱/۰۹/۲۹ و زمان خاتمه ای آن ۱۰:۰۰ سال ۲۰۰۱/۱۰/۱۸ انتخاب گردید نتایج درستی سنجی مدل برای دوره بی مربوطه در شکل ۴ و ۵ نشان داده شده است.

چنان که شکل های ۲ و ۳ نشان می دهد، سری زمانی مشخصات موج مدل سازی شده تطابق خوبی با سری زمانی مشخصات موج اندازه گیری شده دارند. برای بررسی کمی دقت نتایج، شاخص خطای اربی (Bias)، ضریب همبستگی (CC)، جذر خطای مربع میانگین (RMSE)^۱ و شاخص پراکندگی (SI) مطابق روابط (۱) تا (۴) محاسبه شده و در جدول ۱ نشان داده شده اند.

$$\text{Bias} = \bar{y} - \bar{x} \quad (1)$$

$$CC = \frac{\sum_i ((x_i - \bar{x}) \times (y_i - \bar{y}))}{\sqrt{\sum_i (x_i - \bar{x})^2 \sum_i (y_i - \bar{y})^2}} \quad (2)$$

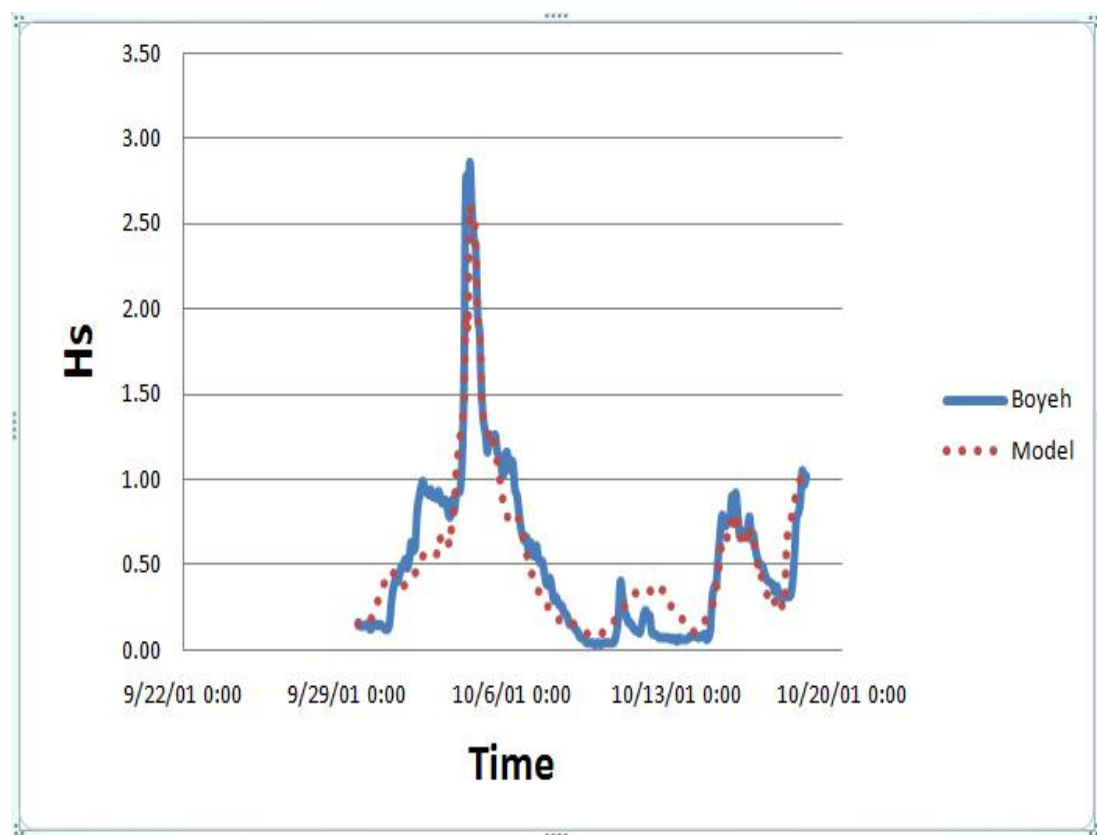
$$RMSE = \sqrt{\frac{1}{n} \sum_{i=1}^n (x_i - y_i)^2} \quad (3)$$

$$SI = \sqrt{\frac{1}{n} \sum_{i=1}^n (x_i - y_i)^2} \times 100 \quad (4)$$

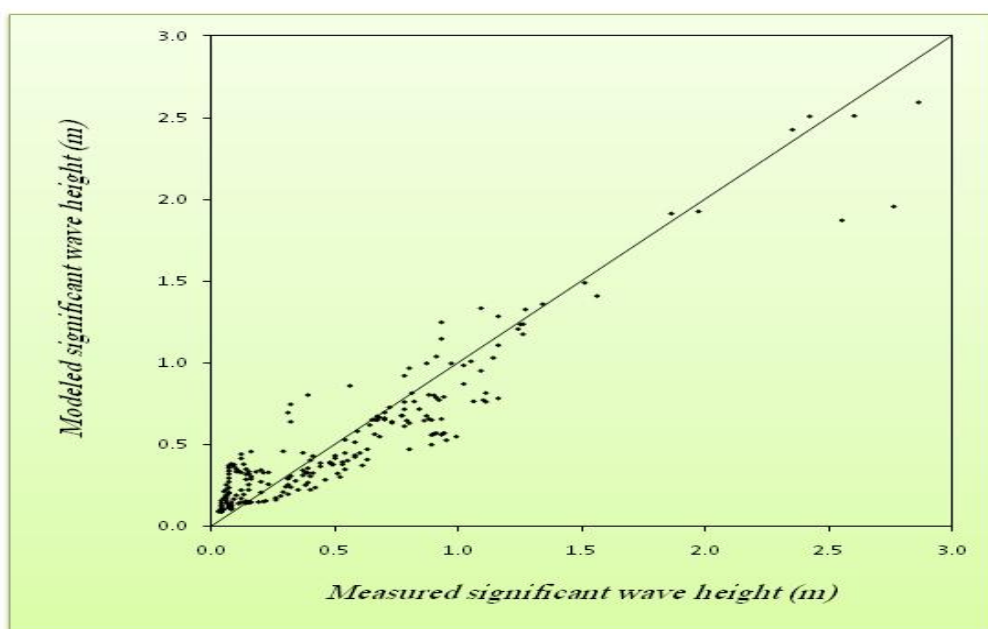
جدول ۱. شاخص های خطای در دوره ۵ واسنجی

| شاخص خطای | ارتفاع موج شاخص |
|-----------|-----------------|
| ۰/۱۳ | Bias |
| ۰/۹۷ | CC |
| ۰/۰۰ | RMSE |
| ۰/۱۰ | SI (%) |

1. Root Mean Square Error



شکل ۴. سری زمانی ارتفاع موج اندازه گیری شده و مدل سازی شده در دوره ی درستی سنجی



شکل ۵ . نمودار پراکندگی ارتفاع موج حاصل از مدل در مقایسه با اندازه گیری بویه امیرآباد در دوره ی درستی سنجی

جدول ۳، مقادیر معمول هر یک از پارامترهای زیر را که در ارزیابی مدل های موج مختلف در مراجع معتبر ارائه شده است، برای ارتفاع موج نشان می دهد. ضمن اینکه باید توجه داشت در اکثر تحقیقات و مراجع موجود، محدوده‌ی مذکور با توجه به ارتفاع موج به دست آمده است و مقادیر مشخصی برای دوره‌ی تناوب ارائه نشده است (چگینی و همکاران، ۱۳۹۱).

شاخص های خطای محاسبه شده برای دوره‌ی درستی سنجی در جدول ۲ نشان داده شده است.

جدول ۲. شاخص های خطای در دوره‌ی درستی سنجی

| شاخص خطای | ارتفاع موج شاخص |
|-----------|-----------------|
| -۰/۰۱ | Bias |
| ۰/۷۵ | CC |
| ۰/۰۲ | RMSE |
| ۰/۲۴ | SI (%) |

جدول ۳ مشخصات پارامترهای آماری مورد استفاده در ارزیابی واسنجی و درستی سنجی مدل برای ارتفاع موج

| پارامتر | علامت اختصاری | واحد | محدوده‌ی نرمال | محدوده‌ی آلمانی |
|-----------------------|---------------|-----------|----------------|-----------------|
| ضریب همبستگی | CC | بدون واحد | ۰/۰۹ - ۰/۷۵ | بیشتر از ۰/۸ |
| جذر متوسط مربع خطاهای | RMSE | متر | ۰/۱ - ۰/۷ | کمتر از ۰/۵ |
| ضریب پراکندگی | SI | درصد | ۱۵ - ۳۵ | کمتر از ۳۰ |
| اریبی | Bias | متر | ۰/۲ - ۰/۵ | کمتر از ۰/۳ |

۳. نتایج

چندین گام زمانی طول می کشد تا مدل، پس از اعمال شرایط مرزی، اثرات شرایط خاص را در محدوده شبیه سازی شده، منعکس نماید و به همگرایی مطلوب برسد. این تعداد گام زمانی، تحت عنوان گرم شدن مدل^۱ مطرح است. بنابراین زمان کوتاهی به مدت زمان شبیه سازی برای عبور از مرحله‌ی گرم شدن، اضافه می گردد. در تحقیق حاضر، پس از اجرایی مدل بر روی شبکه بزرگ و کوچک این نتیجه حاصل شد که مدل پس از ۴۸ ساعت به پایداری خواهد رسید. پس از بررسی های اولیه و کسب اطمینان از اینکه مدل به درستی نصب و اجرا شده است، مدل به مدت سه سال یعنی ۲۰۰۰، ۲۰۰۱ و ۲۰۰۲ اجرا شد. قابل ذکر است که اجرایی اولیه بر روی شبکه‌ی بزرگتر انجام گرفته و پس از آن که شبکه‌ی کوچکتر تعریف شد اجرایی بعدی بر روی این شبکه انجام گرفت. دلیل این کار این است که در مراتبی محدوده‌ی بندر امیرآباد موج ورودی را نمی توان صفر در نظر گرفت. به همین دلیل،

شاخص های خطای محاسبه شده در دوره‌ی درستی سنجی نیز دقت قابل قبول مدل سازی در بندر امیرآباد توسط مدل SWAN را نشان می دهند. بنابراین از مدل ساخته شده می توان برای پیش‌بینی ارتفاع موج شاخص در بندر امیرآباد استفاده نمود. مقدار انرژی موج، روی یک طول موج، در واحد سطح به مقدار عمق آب یا طول موج بستگی ندارد بلکه به طور ساده متناسب با مربع ارتفاع موج است. به خاطر طبیعت نامنظم باد، امواج تولید شده توسط باد، ارتفاع‌ها و دوره‌ی تناوب های نامنظمی دارند. بنابراین برای محاسبه‌ی انرژی از داده‌های طیفی که از طیف چگالی انرژی بدست آمده اند استفاده شده است، یعنی در معادله‌ی انرژی موج، به جای H_s از H ^۱ استفاده شده است و معادله به صورت زیر در آمده است.

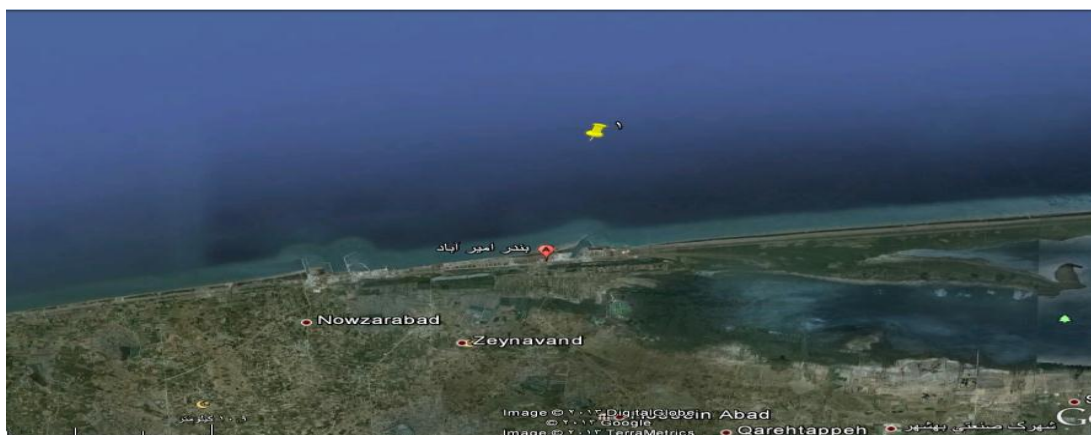
$$E = \frac{1}{\lambda} \rho g H^2 \quad (5)$$

ی دستور NEST که به معنی آشیانه سازی است، صورت می‌گیرد. برای بررسی دقیق‌تر بندر امیرآباد، نقطه‌ای در عمق حدود ۵۰ متری در آب مشخص گردید که در شکل ۶ موقعیت مکانی آن قابل مشاهده است. موقعیت جغرافیایی نقطه در جدول ۴ آمده است.

اجرای مدل SWAN به دو قسمت تقسیم شد. ابتدا مدل بزرگتر که خروجی آن، موج‌های ورودی در مرزهای محدوده‌ی بندر امیرآباد است و اجرای دوم مدل SWAN بر روی شبکه‌ی محلی با استفاده از خروجی مدل بزرگتر، در خود محدوده‌ی بندر امیرآباد است. در مدل SWAN این امکان به وسیله

جدول ۴. موقعیت جغرافیایی نقطه‌ی مورد مطالعه

| موقعیت جغرافیایی | طول جغرافیایی(درجه) | عرض جغرافیایی(درجه) |
|------------------|---------------------|---------------------|
| نقطه‌ی یک (۱) | ۵۲.۳۷۵ | ۳۶.۹۲۵ |



شکل ۶. موقعیت مکانی نقاط مورد مطالعه

هر فصل شامل سه ماه است. میانگین ارتفاع موج مشخصه (عمده) برای هر فصل از دوره، در جدول ۵ آمده است.

به دلیل این که تعداد داده‌ها زیاد است و امکان مقایسه‌ی آنها در یک نمودار نیست، طول زمان اجرای مدل به تعداد فصول تقسیم بندی شد و بنابراین کل زمان سه سال به ۱۲ فصل تقسیم شد که

جدول ۵. میانگین ارتفاع موج مشخصه نقطه‌ی یک در طی فصل‌ها

| فصل (بهار ۲۰۰۰) | میانگین ارتفاع موج مشخصه (عمده) | مقدار (متر) |
|---------------------------|---------------------------------|---------------------|
| فصل دوم (تابستان ۲۰۰۰) | ۰/۳۴۰ | فصل اول (بهار ۲۰۰۰) |
| فصل سوم (پاییز ۲۰۰۰) | ۰/۳۴۹ | ۰/۳۴۹ |
| فصل چهارم (زمستان ۲۰۰۰) | ۰/۳۷۲ | ۰/۳۳۹ |
| فصل پنجم (بهار ۲۰۰۱) | ۰/۳۳۹ | ۰/۳۸۸ |
| فصل ششم (تابستان ۲۰۰۱) | ۰/۳۹۶ | ۰/۴۹۳ |
| فصل هفتم (پاییز ۲۰۰۱) | ۰/۴۰۲ | ۰/۴۰۲ |
| فصل هشتم (زمستان ۲۰۰۱) | ۰/۴۱۶ | ۰/۴۱۶ |
| فصل نهم (بهار ۲۰۰۲) | ۰/۳۴۹ | ۰/۴۸۴ |
| فصل دهم (تابستان ۲۰۰۲) | ۰/۴۸۴ | ۰/۴۸۴ |
| فصل یازدهم (پاییز ۲۰۰۲) | ۰/۴۸۴ | ۰/۴۸۴ |
| فصل دوازدهم (زمستان ۲۰۰۲) | ۰/۴۸۴ | ۰/۴۸۴ |

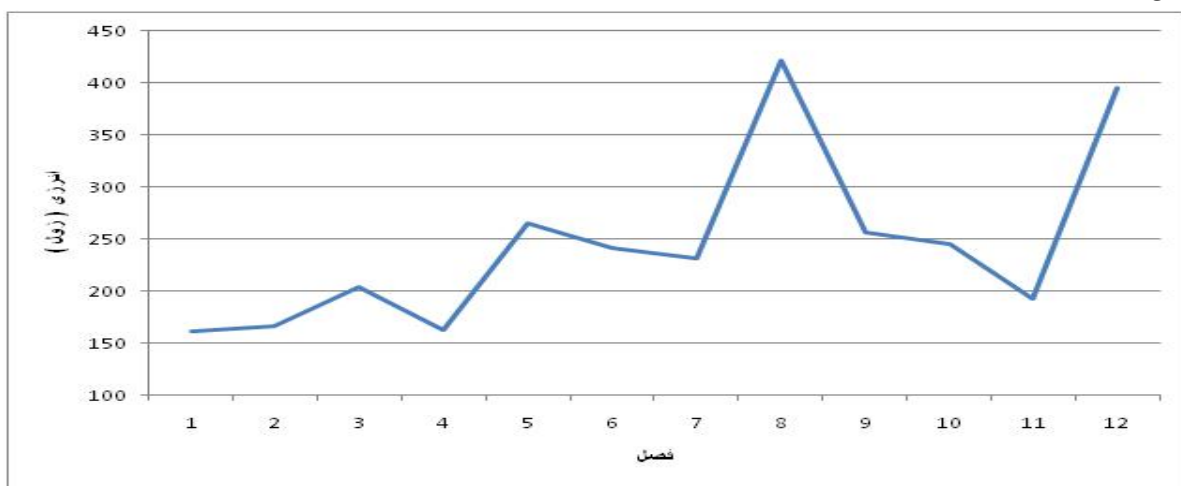
خواهیم داشت:

با استفاده از فرمول ۵ برای انرژی در نقطه‌ی یک

جدول ۶. مشخصات آماری انرژی در نقطه‌ی یک

| اندازه (ژول) | مشخصات آماری انرژی در نقطه‌ی یک |
|--------------|-----------------------------------|
| ۲۴۲/۲۶۱ | متوجه سال های ۲۰۰۰ و ۲۰۰۱ و ۲۰۰۲ |
| ۱۶۴/۲۶۲ | متوجه سال ۲۰۰۰ |
| ۲۸۹/۸۳۴ | متوجه سال ۲۰۰۱ |
| ۲۷۲/۷۳۵ | متوجه سال ۲۰۰۲ |
| ۳۳۷/۵۷۹ | بیشینه سال های ۲۰۰۰ و ۲۰۰۱ و ۲۰۰۲ |
| ۱۳۷۳/۹۱۲ | بیشینه سال ۲۰۰۰ |
| ۳۳۷۰/۵۷۹ | بیشینه سال ۲۰۰۱ |
| ۲۲۸۴/۶۲۸ | بیشینه سال ۲۰۰۲ |
| ۵/۹۵۴ | کمینه سال های ۲۰۰۰ و ۲۰۰۱ و ۲۰۰۲ |
| ۱۰/۰۰۱ | کمینه سال ۲۰۰۰ |
| ۵/۹۵۴ | کمینه سال ۲۰۰۱ |
| ۶/۵۶۸ | کمینه سال ۲۰۰۲ |

میانگین تغییرات انرژی در طول فصل‌ها، به صورت
شکل ۷ است.



شکل ۷. میانگین تغییرات انرژی نقطه‌ی یک در طول فصل‌ها

مطالعات و تحقیقات منابع آب دریای خزر در قسمت نتایج آمده است که در سال آبی ۲۰۰۰-۲۰۰۱ تراز آب دریای خزر به شدت ناآرام بوده است به طوری که نسبت به سال‌های قبلی، روند فصلی آن نامتقارن شده است.

طبق داده‌های جدول ۶، بیشینه‌ی و کمینه‌ی انرژی در طی سه سال مربوط به سال ۲۰۰۱ به دست

با توجه به شکل ۷ و مقایسه‌ی داده‌های جدول ۵، دیده می‌شود که نوسانات ارتفاع آب در سال ۲۰۰۰ با دو سال دیگر مقداری نا متقارن است، به طوری که در سال ۲۰۰۰ بیشترین ارتفاع موج عمده در تابستان سال ۲۰۰۰ رخ داده است ولی در سال‌های ۲۰۰۱ و ۲۰۰۲ در اوخر زمستان و ابتدای بهار رخ داده است. در گزارش سال آبی ۲۰۰۰-۲۰۰۱ مرکز

از آن جا که تاکنون در مطالعات انجام شده با مدل SWAN، در نظر گرفتن عمل آشیانه سازی کمتر مورد توجه بوده است؛ لذا ویژگی مهم و بارز این تحقیق، انجام آشیانه سازی روی SWAN درشت (مدل SWAN روی کل دریای خزر) و استخراج شرایط مرزی برای SWAN ریز (مدل SWAN در بندر امیرآباد) و شبیه سازی همزمان امواج در کل دریای خزر و محدوده‌ی بندر امیرآباد با دقت ۱ دقیقه است.

منابع

- چگینی، و، گلشنی، ع. ا.، تائبی، س، چگینی، ف. ۱۳۹۱. امواج ناشی از باد و پیش بینی آنها در خلیج فارس، دریای عمان و دریای خزر، انتشارات موسسه‌ی ملی اقیانوس‌شناسی، صفحات ۳۲۰ - ۳۵۰.
- شیرین منش، س.، چگینی، و. ۱۳۹۰. مطالعه و بررسی برآورده اثری قابل استحصال از موج و جریانات جزر و مدی در خلیج چابهار، مجله علوم و فنون دریایی، دوره‌ی ۱۰، شماره‌ی ۲، صفحات ۹۱ - ۱۰۷.
- فرجامی، ح.، حسینی، س.، چگینی، و.، محمدی، س. ۱۳۹۰. شبیه سازی امواج ناشی از باد در خلیج بوشهر با مدل عددی SWAN، نشریه‌ی علمی پژوهشی اقیانوس‌شناسی، سال دوم، چاپ ۸، صفحات ۸۷ - ۷۹.
- قانقرمه، ع. ۱۳۷۹. گزارش سالانه‌ی نوسانات سطح آب دریای خزر در سال آبی ۱۳۷۸-۷۹. مرکز ملی مطالعات و تحقیقات دریای خزر وابسته به موسسه تحقیقات آب وزارت نیرو، صفحه: ۳۷ - ۳۴.
- قانقرمه، ع. ۱۳۸۰. گزارش سالانه‌ی نوسانات سطح آب دریای خزر در سال آبی ۱۳۷۹-۸۰. مرکز ملی مطالعات و تحقیقات دریای خزر وابسته به موسسه تحقیقات آب وزارت نیرو، صفحه: ۳۹ - ۳۵.
- قانقرمه، ع. ۱۳۸۱. گزارش سالانه‌ی نوسانات سطح آب دریای خزر در سال آبی ۱۳۸۰-۸۱. مرکز ملی

آمده است که با توجه به داده‌های جدول ۵ به دست آوردن چنین نتیجه‌ای منطقی است. هم چنین مقایسه‌ی متوسط انرژی در طی این سه سال نشان می‌دهد که در سال ۲۰۰۱ مقدار آن نسبت به دو سال دیگر بیشتر است. به خاطر این که در سال ۲۰۰۱ متوسط ارتفاع موج نسبت به دو سال دیگر طبق جدول ۵ بیشتر است، به دست آوردن چنین نتیجه‌ای منطقی است.

۴. بحث و نتیجه‌گیری

در این مطالعه پارامتر ارتفاع موج مشخصه (H_s) در محدوده‌ی بندر امیرآباد دریای خزر با داده‌های بویه اقیانوسی در این منطقه برای ۱۶ روز در دوره‌ی واسنجدی و ۲۰ روز در دوره‌ی درستی سنجی با استفاده از مدل SWAN مورد بررسی قرار گرفت و مقدار خطای مدل برای پیش بینی ارتفاع موج مشخصه (H_s) محاسبه گردید. نتایج به دست آمده را به صورت کلی می‌توان به صورت زیر بیان کرد:

رونده تغییر ارتفاع موج مدل SWAN در بندر امیرآباد تطابق خوبی با داده‌های بویه ای هواشناسی دارد به طوری که طی مدت واسنجدی، پارامتر Bias برای ارتفاع موج ۰/۱۳ است و در مرحله‌ی صحبت سنجی این مقدار پارامتر به ۰/۰۱ بدست آمد. بنابراین SWAN می‌تواند مدل مناسبی برای پیش بینی و شبیه سازی امواج در دریای خزر باشد.

بررسی آماری نتایج مدل SWAN در طی این سه سال و مقایسه‌ی آن با گزارش سالانه‌ی مرکز مطالعات و تحقیقات منابع دریای خزر نشان می‌دهد که مطابقت خیلی خوبی بین این نتایج وجود دارد.

خطای مدل می‌تواند به دلیل خطاهای موجود در ورودی‌های مدل (داده‌ای عمق و باد) باشد. این اختلاف می‌تواند ناشی از خطای موجود در داده‌های باد ECMWF، داده‌های باد بویه و تبدیل این باد به باد در ارتفاع ۱۰ متر، عمق سنجی‌ها، خصوصاً عمق سنجی حوزه‌ی بندر امیرآباد باشد.

International Offshore and Polar Engineering Conference, San Francisco, California, USA, May 28-June 2, 2006.

Moeini, M.H.; Etemad-Shahidi A. 2007. Application of two numerical models for wave hindcasting in Lake Erie. *Applied Ocean Research* 29 (2007) 137–145.

Goda, Y., H. Takeda and Y. Moriya, 1967: Laboratory investigation of wave transmission over breakwaters, Rep. port and Harbour Res. Inst., 13 (from Seelig, 1979).

مطالعات و تحقیقات دریایی خزر وابسته به موسسه
تحقیقات آب وزارت نیرو، صفحه: ۳۶ - ۳۳.

منصور بهمنی، الف. ۱۳۹۰. بررسی انرژی امواج در سواحل ایرانی دریای عمان با استفاده از مدل SWAN، پایان نامه‌ی کارشناسی ارشد دانشگاه هرمزگان، ۱۳۵ صفحه.

Lee, B.C.; Cheng, H.Y.; Kao, C.C.; Fan, Y.M. 2006. On the Estimation of Wind Wave of Taiwan Water by using Swan Wave Model. *Proceedings of the Sixteenth* (2006)